

最近の技術から

Br₂ ガス RIE によるエッチドミラーレーザー

辻井 平明・大仲 清司・柴 田 淳

松下電器産業(株)光半導体研究所 T570 守口市八雲中町 3-15

1. はじめに

InGaAsP/InP 系半導体レーザーは、1.3 μm 帯の光伝送システムの光源として実用化されている。さらに同一基板上に半導体レーザーとトランジスタを集積した OEIC (光電子集積回路) を開発する試みが行なわれている¹⁾。

現在開発が進められている OEIC の多くはチップサイズの一辺が半導体レーザーの共振器長 (250~350 μm) により制限されているため、チップサイズに自由度がなく高集積化がむずかしいという課題がある。高集積化、多機能化を実現していくためには、へき開によらず高い歩留りで共振器ミラー面を形成する必要があり、そのための方法として、①ウエットエッチング法²⁾、②ドライエッティング法³⁻⁵⁾、③マイクロクリーブ法⁶⁾等が試みられている。

このうちドライエッティングによる方法は、エッティング面の結晶方位による依存性が小さいことから OEIC への応用を考えた場合最適であると考えられる。今回エッティングガスとして、新たに Br₂ を用いアクリティブイオンエッティング (RIE) によりエッティング溝を形成し、エッティングミラーレーザーを試作した。さらに溝により分離された他方をホトディテクタとして用いることにより、半導体レーザーの光出力モニタ用のダイオードを形成した。ここでは InP のドライエッティング、素子の作製、および試作した素子の特性について述べる。

2. InP のドライエッティング

従来、InGaAsP/InP 系のドライエッティングは、Ti³⁾ または TiO₂⁵⁾、SiO₂⁴⁾ をマスク材として塩素系のガスを主成分としたエッティングガスを用いていたが、マスク材とエッティング速度の選択性は (CCl₄+O₂)/SiO₂ で 4.3⁴⁾ (Cl₂+Ar)/TiO₂ で 10⁵⁾ と十分とはいえないかった。今回、エッティングガスとしては、従来の Cl 系のガスにかけて Br 系のガスを用いたところ、Br₂/Ti で 59 と大幅に改善できた。エッティング中の圧力を変化させて各素材

のエッティング速度を調べた結果を図 1 に示す⁷⁾。実験に用いた RIE 装置は、通常の平行平板型である。InP のエッティング速度は、マスク材として考えられる SiO₂、Ti、TiO₂、Si₃N₄ 等より十分大きなエッティング速度が得られており、Br₂ ガスがエッティングガスとして適していることがわかる。

RIE を用いてエッティングミラーを形成する場合、重要なのは、①エッティングマスク材の加工が容易、②InP とのエッティング選択性が大きい、③エッティング面がスムーズである等である。エッティングガスイオンによりマスク材もエッティングされるためエッティング面の垂直性は、用いるマスク材のパターンエッジの垂直性により決まる。したがって、マスク材として用いる材料は垂直性よく加工できなければならない。加えて、マスク材のパターンエッジに凹凸がなく直線性にすぐれている必要性がある。われわれは、マスク材料として Ti を用い、その加工にはホトレジストでパターンを形成し、CCl₄ をエッティングガスとして同じ RIE 装置にて行なった。なお、Ti 膜の除去は、HF:NH₄F=1:10 のエッティング液を用いることにより容易にできる。

3. 素子の製作

今回試作した素子は図 2 に示すように、InP を用いた BHLD (buried heterostructure laser diode) 構造に、Br₂ をエッティングガス、Ti をマスク材とした RIE により、幅 2 μm の垂直性のよい溝を形成しエッティングミラーとして、一方を半導体レーザー (LD)、他方をホトディテクタ (PD) とした構造である。図 3 に素子のプロセスフローを示す。エッティング溝の深さは今回製作した素子で 6.8 μm であり、これは、素子間分離を行なうため InP 基板まで溝を到達させる必要があるからである。なお LD と PD の他方の面はへき開により形成した。試作したレーザーの共振器長は、250~350 μm である。

4. 素子特性

試作したレーザーの閾値電流は、35 mA、外部微分量

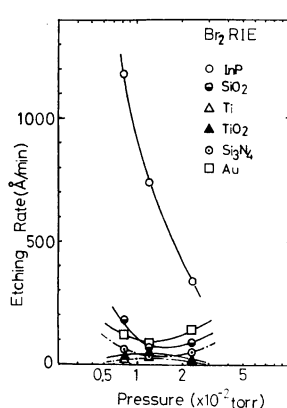


図 1 Br_2 RIE によるエッティング速度

子効率は、13% が得られた。ホトディテクタの感度を調べるために、レーザーに電流を流し光パワーメーターにて発光出力をモニターすると同時にホトディテクタに流れる電流を測定した。その結果を図 4 に示す。レーザー出力 5 mW 以上まで良好な直線性が得られており、レーザー出力を精度良くモニターすることができる。受光感度は、0.49 A/W という従来より大きな値が得られた。受光感度が大きくなった原因としては①LD-PD 間が $2 \mu\text{m}$ と小さいこと、②エッティングミラー面の反射率が小さいため PD 側の光出力が他方に比べて大きいことが考えられる。なおレーザーとホトディテクタの素子間分離は $1 \text{ M}\Omega$ 以上であった。

5. おわりに

Br_2 ガスをエッティングガスに用いた RIE により Ti をマスクとして、InP との選択比が 59 あることを示し、この組合せがレーザーのエッティングキャビティを作製するのに有効であることを示した。

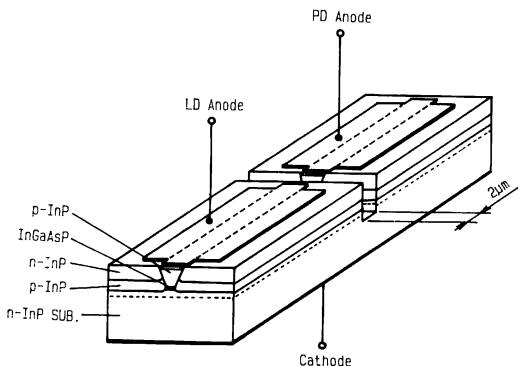


図 2 試作した素子の構造

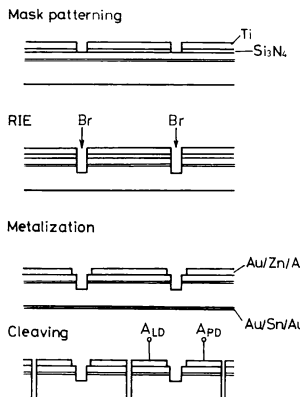


図 3 素子作製のプロセスフロー

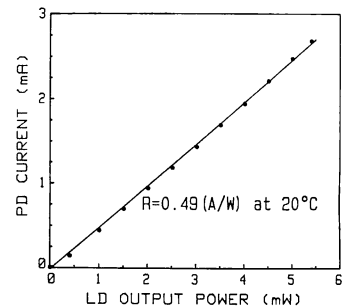


図 4 ホトディテクタの受光特性

BHLD にエッティングミラーを形成し、閾値電流 35 mA、光出力 5~10 mW の半導体レーザーと受光感度 0.49 A/W のホトディテクタとで、素子間分離抵抗 $1 \text{ M}\Omega$ 以上をもつ半導体レーザー・ホトディテクタモノリシック一体化素子を試作した。この技術は OEIC のチップサイズの自由度を増すとともにモニタホトディテクタを集積することができ、今後の OEIC の高集積化、多機能化にきわめて重要であると考えられる。

文 献

- J. Shibata, I. Nakao, Y. Sasai, N. Hase and H. Serizawa: "Monolithic integration of an InGaAsP/InP laser diode with heterojunction bipolar transistors," Appl. Phys. Lett., **45** (1984) 191.
- S. Adachi, Y. Noguchi and H. Kawaguchi: "Use of $\text{HBr}-\text{CH}_3\text{COOH}-\text{K}_2\text{Cr}_2\text{O}_7$ etchant to etched-mirror laser," J. Electrochem. Soc., **129** (1982) 1524.
- L. A. Coldren, K. Iga, B. I. Miller and J. A. Rentschler: "GaInAsP/InP stripe-geometry laser with a reactive-ion-etched facet," Appl. Phys. Lett., **37** (1980) 681.
- O. Mikami, H. Akiya, T. Saitoh and H. Nakagome: "CW operation of $1.5 \mu\text{m}$ GaInAsP/InP buried-heterostructure laser with a reactive-ion-etched facet," Electron. Lett., **19** (1983) 213.
- H. Saito, Y. Noguchi and H. Nagai: "CW operation of $1.5 \mu\text{m}$ GaInAsP/InP buried-heterostructure laser with a reactive-ion-etched facet," Electron. Lett., **21** (1985) 748.
- H. Blauvelt, N. Bar-Chaim, D. Fekete, S. Margalit and A. Yariv: "AlGaAs lasers with micro-crevassed mirrors suitable for monolithic integration," Appl. Phys. Lett., **40** (1982) 289.
- T. Terashige, K. Ohnaka, J. Shibata and T. Kajiwara: "An etched facet InGaAsP/InP buried-heterostructure laser fabricated by a Br_2 -reactive-ion-etching," Optoelectron. Conf. (OEC), B11-1 (1986).